

Московский государственный университет имени М.В. Ломоносова

Направление 38.03.01 Экономика

Программа «Национальная экономика»

**Прогнозирование рисков банковского кредитования с  
использованием технологий искусственного  
интеллекта**

Выпускная квалификационная работа

Студент

Касенова Асем Ардаковна

Научный руководитель:

к.э.н., к.ф.-м.н., к.ю.н., доцент

Сидоренко Владимир Николаевич

Астана

2026

# ОГЛАВЛЕНИЕ

Глава 1. Алгоритмы машинного и глубокого обучения в задаче о кредитном сконнинге . . . . .	3
1.1 Предобработка данных кредитной истории клиентов банка . . . . .	3
1.1.1 Метод главных компонент . . . . .	5
1.1.2 Определение аномального клиента . . . . .	9
1.1.3 Статистический тест Колмогорова-Смирнова . . . . .	12
1.1.4 Статистический тест на равенство линейного коэффициента корреляции Пирсона . . . . .	18
1.2 Базовые алгоритмы оценки вероятности возврата кредита . . . . .	18
1.2.1 Деревья решений . . . . .	18
1.2.2 Случайный лес . . . . .	21
1.2.3 Градиентный бустинг . . . . .	22
1.2.4 Нейронные сети . . . . .	24
1.3 Переобучение и недообучение алгоритмов . . . . .	26
1.4 Применение алгоритмов в прогнозировании дефолта заемщика банка . . . . .	26
Приложение 1. Предобработка данных . . . . .	28

# ГЛАВА 1. АЛГОРИТМЫ МАШИННОГО И ГЛУБОКОГО ОБУЧЕНИЯ В ЗАДАЧЕ О КРЕДИТНОМ СКОРИНГЕ

## 1.1 Предобработка данных кредитной истории клиентов банка

В данной работе используются обезличенные данные АО «Альфа-Банка»<sup>1</sup>. Данные состоят из 12 файлов (`train_data_0.pq` – `train_data_11.pq`), содержащих информацию о платежах клиентов банка. В каждом из 12 файлов содержится информация о 250 000 клиентах. При этом один клиент может иметь несколько кредитов, и каждому такому клиенту соответствует персональный `id` (идентификационный номер). Отдельно имеется файл `train_target.csv`, который состоит из 3 млн строк, и каждая строка соответствует клиенту с меткой (флагом) равной 0 (отсутствие дефолта) или 1 (наличие дефолта). Задача предобработки данных состоит в структурировании исходной информации, т.е. формирование единого датасета, выделение важных признаков (колонок), выявление аномальных клиентов (определение аномальности будет приведено ниже), визуализация данных и тестирование моделей МО и ГО на этих данных. Программный код формирования единого датасета реализован в листинге 1 (см. приложение 1).

**Комментарий 1.** Пояснение к листингу 1:

- Строки 1 – 3. Импортируются необходимые библиотеки: `pandas` – для работы с табличными данными, `os` – для работы с файловой системой и `pyarrow.parquet` – для чтения файлов формата `.parquet`.
- Строка 5. Задается путь `path = "train_data"` к папке, в которой находятся исходные файлы формата `.pq`.
- Строки 6 – 13. Запускается цикл `for`, который перебирает все файлы в папке `train_data`. Формируется имя поочередного файла `train_data_i.pq`, создается объект `ParquetDataset` для текущего файла, из которого данныечитываются в `DataFrame` (`df`). Затем выполняется агрегация данных по признаку `id`, вычисляются средние значения признаков, после чего данные сохраняются в соответствующий `csv` – файл в папку `train_data_csv_all`.
- Строка 14. Выводится список файлов каталога `train_data` для проверки корректности формирования файлов.
- Строки 16 – 21. Задается путь к папке с полученными `csv`-файлами `train_data_csv_all`. Создается пустой список `frames` для последующего хранения отдельных `DataFrame`.

<sup>1</sup>Соревнование на данных кредитных историй [Электронный ресурс] / Open Data Science. URL: <https://ods.ai/competitions/dl-fintech-bki> (дата обращения 25.11.2025)

Затем запускается цикл по файлам в папке `train_data_csv_all`, который последовательно перебирает все файлы в формате `.csv`. Результат сохраняется в `DataFrame` (`df`) и добавляется в список `frames`.

6. Строки 23 – 26. Все элементы списка `frames` объединяются в единый `DataFrame` `result` с помощью функции `pd.concat`. Полученный датасет сохраняется в файл `1_data_csv_all.csv`, после чего заново считывается в переменную `df_all` для последующего анализа.

После преобразования получился следующий датасет. В таблице 1 приводится фрагмент датасета:

Таблица 1 – Фрагмент преобразованного датасета, содержащий первых 5 клиентов

<code>id</code>	<code>enc_paym_0</code>	<code>enc_paym_1</code>	<code>enc_paym_2</code>	<code>enc_paym_3</code>	<code>enc_paym_4</code>	<code>flag</code>
1750000	0.17	0.17	0.17	0.33	0.67	0
1750001	0.00	0.75	0.75	0.75	0.75	0
1750002	0.39	0.33	0.72	0.67	1.17	0
1750003	0.18	0.23	0.41	0.50	0.55	0
1750004	0.60	0.60	0.60	0.60	1.20	0

Примечание: `id` – идентификатор заявки; `enc_paym_0`, ..., `enc_paym_n` – статусы ежемесячных платежей за последние  $n$  месяцев; `flag` – статус кредита (0=кредит полностью оплачен). Полный датасет состоит из 61 признака, включая дополнительные характеристики по кредитам.

### Комментарий 2. Пояснение к агрегированию клиентов в листинге 1:

Агрегация клиентов по идентификатору `id` в строке 11 необходима для определения итоговой метки (флага) каждого клиента, поскольку одному заемщику может соответствовать несколько кредитных договоров. Задача состоит в присвоении каждому кредиту одного заемщика единую итоговую метку. В данном исследовании в качестве общего значения для всех кредитов используется среднее исходных значений. Для понимания идеи приводится следующий пример в виде таблицы 2 :

Таблица 2 – Дисциплина оплаты кредитов клиента (`id = 1`)

<code>id</code>	<code>N</code>	<code>M1</code>	<code>M2</code>	<code>M3</code>	<code>M4</code>	<code>M5</code>	<code>M6</code>	<code>flag</code>	
1	1	1	0	1	1	0	1	0	
1	2	0	1	0	1	1	2		
1	3	1	2	0	0	3	2		
		Среднее значение							
1		0.67	1	0.33	1	1.33	1.67	0	

Источник: составлено автором на основе: Соревнование на данных кредитных историй [Электронный ресурс] / Open Data Science. – URL: <https://ods.ai/competitions/dl-fintech-bki> (дата обращения: 25.11.2025).

В данной таблице признаки означают следующее:

1. `id` – идентификационный номер клиента;
2. `N` – номер кредита;
3.  $M_1, \dots, M_6$  – статусы погашения в течение 6 месяцев ( $0$ =платеж вовремя оплачен,  $1$ =задержка платежа на 1 день,  $2$ =задержка платежа на 2 дня,  $3$ =задержка платежа на 3 дня);
4. `flag` – статус кредита ( $0$ =кредит полностью оплачен).

В таблице 2 на пересечении  $N=2$  (второго кредита) и  $M_2$  (платеж во втором месяце) выделена цифра 1, означающая, что платеж по второму кредиту во втором месяце был оплачен с опозданием на 1 день.

Таким образом, данные трех строк, соответствующих трем кредитам клиента, в таблице 2 были усреднены и преобразованы в одну строку, которая содержит агрегированную информацию по клиенту с `id = 1`. В целом агрегировать клиентов можно не только по среднему значению, но и по моде или медиане. Однако в данной работе выбрано среднее значение, поскольку оно обладает важными статистическими свойствами, такими как несмещенность и состоятельность. После группирования данных был сформирован новый датасет, состоящий из 3 млн клиентов, каждому из которых соответствует одна итоговая метка. Получившийся датасет содержит 61 признак, из которых далее необходимо отобрать наиболее информативные, т.е. такие признаки, существенно влияющие на точность алгоритмов МО и ГО.

### 1.1.1 Метод главных компонент

Метод главных компонент (англ. *principal component analysis, PCA*) – метод сокращения размерности данных, позволяющий уменьшать количество признаков с сохранением максимального объема исходной информации<sup>2</sup>, на которых обучаются модели МО и ГО.

Как уже было отмечено выше сформированный датасет содержит 61 признак (столбец). Задача состоит в том, чтобы найти такие признаки, на которые модели МО и ГО показывали приемлемую точность. Следует отметить, что редукция признаков может уменьшить точность алгоритмов, поэтому необходимо внимательно следить за процессом сокращения данных. В качестве тестового алгоритма был выбран алгоритм *Random Forest* (случайный лес), поскольку в статье С.В. Смирнова<sup>3</sup> был проведен анализ предпочтения исследователей к алгоритмам МО, показавший, что наиболее популярным является случайный лес.

---

<sup>2</sup>PCA [Электронный ресурс] / Python-библиотека для машинного обучения. URL: <https://scikit-learn.org/stable/modules/generated/sklearn.decomposition.PCA.html> (дата обращения: 25.11.2025).

<sup>3</sup>Смирнов С.В. Методы машинного обучения в макроэкономическом прогнозировании: предварительные итоги // Вопросы экономики. 2025. № 10. С. 131–154 (дата обращения: 25.11.2025).

Из преобразованного датасета изначально выбираются только некатегориальные признаки и формируется новый датасет, содержащий 41 признак. Ниже приводится смысл этих признаков:

1. `pre_pterm` – плановое количество дней с даты открытия кредита до даты его закрытия;
2. `pre_fterm` – фактическое количество дней с даты открытия кредита до даты его закрытия;
3. `pre_loans_next_pay_summ` – сумма следующего платежа по кредиту;
4. `pre_loans_outstanding` – оставшаяся невыплаченная сумма кредита;
5. `pre_loans_total_overdue` – текущая просроченная задолженность по кредиту;
6. `pre_loans_max_overdue_sum` – максимальная просроченная задолженность по кредиту за весь срок;
7. `pre_loans_credit_cost_rate` – полная стоимость кредита;
8. `is_zero_loans5` – флаг: нет просрочек до 5 дней;
9. `is_zero_loans530` – флаг: нет просрочек от 5 до 30 дней;
10. `is_zero_loans3060` – флаг: нет просрочек от 30 до 60 дней;
11. `is_zero_loans6090` – флаг: нет просрочек от 60 до 90 дней;
12. `is_zero_loans90` – флаг: нет просрочек более чем на 90 дней;
13. `pre_util` – отношение оставшейся невыплаченной суммы кредита к кредитному лимиту;
14. `pre_maxover2limit` – отношение максимальной просроченной задолженности к кредитному лимиту;
15. `is_zero_util` – флаг: отношение оставшейся невыплаченной суммы кредита к кредитному лимиту равно 0;
16. `is_zero_over2limit` – флаг: отношение текущей просроченной задолженности к кредитному лимиту равно 0;
17. `enc_paym_0, ..., enc_paym_n` – статусы ежемесячных платежей за последние  $n$  месяцев.

Далее из этих 41 признака необходимо выбрать только такие, которые вносят наибольший вклад в информативность данных. В листинге 2 (см. Приложение 1) реализован метод главных компонент. На таком наборе данных алгоритм показывает следующие метрики (см. Таблицу 3):

Таблица 3 – Метрики точности на 41 признаке

Алгоритм – Случайный лес						
Flag метка	Precision точность	Recall полнота	f1-score f1–мера	Accuracy точность	ROC-AUC	Количество
Тренировочная выборка						
0	1.00	0.97	0.98	0.97	0.67	724650
1	0.00	0.00	0.00			25350
Тестовая выборка						
0	1.00	0.97	0.98	0.97	0.50	241508
1	0.00	0.00	0.00			8493

Источник: составлено автором на основе: Соревнование на данных кредитных историй [Электронный ресурс] / Open Data Science. – URL: <https://ods.ai/competitions/dl-fintech-bki> (дата обращения: 25.11.2025).

Были получены результаты *PCA*:

$$\begin{aligned}
 \lambda_1^{(p)} &= 22.3, \lambda_2^{(p)} = 20.3, \lambda_3^{(p)} = 17.6, \lambda_4^{(p)} = 10.8, \lambda_5^{(p)} = 9.5, \\
 \lambda_6^{(p)} &= 7.6, \lambda_7^{(p)} = 4.2, \lambda_8^{(p)} = 1.7, \lambda_9^{(p)} = 1.5, \lambda_{10}^{(p)} = 0.8, \\
 \lambda_{11}^{(p)} &= 0.6, \lambda_{12}^{(p)} = 0.5, \lambda_{13}^{(p)} = 0.4, \lambda_{14}^{(p)} = 0.3, \lambda_{15}^{(p)} = 0.3, \\
 \lambda_{16}^{(p)} &= 0.2, \lambda_{17}^{(p)} = 0.2, \lambda_{18}^{(p)} = 0.1, \lambda_{19}^{(p)} = 0.1, \lambda_{20}^{(p)} = 0.1, \\
 \lambda_{21}^{(p)} &= 0.1, \lambda_{22}^{(p)} = 0.1, \lambda_{23}^{(p)} = 0.1, \lambda_{24}^{(p)} = 0.1, \lambda_{25}^{(p)} = 0.1, \\
 \lambda_{26}^{(p)} &= 0.1, \lambda_{27}^{(p)} = 0.1, \lambda_{28}^{(p)} = 0.1, \lambda_{29}^{(p)} = 0.1, \lambda_{30}^{(p)} = 0.1, \\
 \lambda_{31}^{(p)} &= 0.0, \lambda_{32}^{(p)} = 0.0, \lambda_{33}^{(p)} = 0.0, \lambda_{34}^{(p)} = 0.0, \lambda_{35}^{(p)} = 0.0, \\
 \lambda_{36}^{(p)} &= 0.0, \lambda_{37}^{(p)} = 0.0, \lambda_{38}^{(p)} = 0.0, \lambda_{39}^{(p)} = 0.0, \lambda_{40}^{(p)} = 0.0, \\
 \lambda_{41}^{(p)} &= 0.0
 \end{aligned} \tag{1}$$

В формуле (1)  $\lambda_1^{(p)}, \dots, \lambda_{41}^{(p)}$  – это доли собственных чисел ковариационной матрицы, выраженные в процентах. Начиная с  $\lambda_{18}^{(p)}$  эта доля не превышает 0.2%. Это означает, что существует 24 компонента, которые вносят незначительный вклад в информативность данных. Метод *PCA* не представляет возможности точно определять какие именно признаки вносят существенный вклад в информативность данных, поэтому необходимо самостоятельно выбирать и удалять признаки с низким вкладом. Было сделано предположение, что наименее информативными признаками являются: `pre_pterm`,

```
pre_fterm, pre_loans_next_pay_summ, pre_loans_outstanding, pre_loans_total_over
due, pre_loans_max_overdue_sum, pre_loans_credit_cost_rate, is_zero_loans5, is_
zero_loans530, is_zero_loans3060, is_zero_loans6090, is_zero_loans90, pre_util,
pre_maxover2limit, is_zero_util, is_zero_over2limit.
```

Для подтверждения необходимо повторно проделать метод *PCA* без 16 признаков, касательно которых было сделано предположение. В листинге 3 (см. приложение 1) реализуется метод главных компонент.

1. Строки 1–2. Задаётся файл с датасетом из 25 признаков, который считывается в объект `DataFrame(df)`.
2. Строки 4–10. Формируется список со статусами ежемесячных платежей `enc_paym_k`,  $k = 0, \dots, 24$ .
3. Страна 12. `X_pay = df.loc[:, columns_pay].copy()` – из исходного датасета `df` выбираются 25 признаков, которые формируют матрицу `X_pay`, содержащую информацию о платёжной дисциплине.
4. Страна 13. Создаётся объект метода главных компонент *PCA* с параметрами по умолчанию.
5. Страна 14. На матрице `X_pay` обучается модель *PCA*.
6. Страна 16. Вычисляются доли объясненной дисперсии для каждого главного компонента.

Получается следующая значимость признаков, процентно выраженная в собственных числах ковариационной матрицы `X_pay`.

$$\begin{aligned} \lambda_1^{(p)} &= 66.3, \lambda_2^{(p)} = 15.6, \lambda_3^{(p)} = 5.5, \lambda_4^{(p)} = 2.9, \lambda_5^{(p)} = 1.8, \\ \lambda_6^{(p)} &= 1.3, \lambda_7^{(p)} = 1.0, \lambda_8^{(p)} = 0.8, \lambda_9^{(p)} = 0.7, \lambda_{10}^{(p)} = 0.6, \\ \lambda_{11}^{(p)} &= 0.5, \lambda_{12}^{(p)} = 0.4, \lambda_{13}^{(p)} = 0.4, \lambda_{14}^{(p)} = 0.3, \lambda_{15}^{(p)} = 0.3, \\ \lambda_{16}^{(p)} &= 0.3, \lambda_{17}^{(p)} = 0.3, \lambda_{18}^{(p)} = 0.2, \lambda_{19}^{(p)} = 0.2, \lambda_{20}^{(p)} = 0.1, \\ \lambda_{21}^{(p)} &= 0.1, \lambda_{22}^{(p)} = 0.1, \lambda_{23}^{(p)} = 0.1, \lambda_{24}^{(p)} = 0.1, \lambda_{25}^{(p)} = 0.1. \end{aligned} \quad (2)$$

Из формулы (2) можно заметить, что осталось только 25 признаков, где доли собственных чисел  $\lambda_i^{(p)}$  не равны нулю, т.е. остались те признаки, которые вносят существенный вклад в информативность данных. Однако из таблицы 3 видно, что некоторые метрики для алгоритма случайного леса равны нулю, что является неприемлемым для прогнозирования кредитных рисков. Например, это метрики *Recall* и *Precision*, для дефолтных клиентов. Таким образом, метод *PCA* не оказал влияния на некоторые метрики алгоритма, поэтому требуется дальнейший детальный анализ.

### 1.1.2 Определение аномального клиента

Рисунок 1 показывает, что доля недефолтных клиентов существенно велика и не соответствует статистике в реальной жизни. По данным Первого кредитного бюро Республики Казахстан около 20%<sup>4</sup> казахстанских заемщиков имеют дефолтную кредитную историю, что подтверждает данное утверждение и указывает на наличие аномальности в классе недефолтных клиентов.

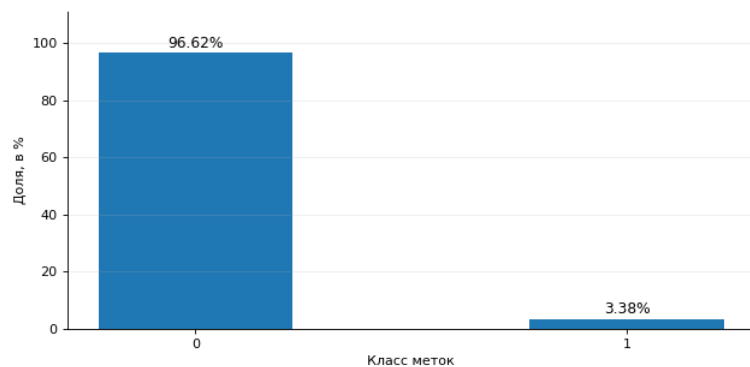


Рисунок 1 – Перекос в сторону недефолтных клиентов

Источник: составлено автором на основе: Соревнование на данных кредитных историй [Электронный ресурс] / Open Data Science. – URL: <https://ods.ai/competitions/dl-fintech-bki> (дата обращения: 25.11.2025).

В данной работе под аномальным клиентом понимается нетипичное поведение для большинства заемщиков. Речь идет о ситуации, когда клиент фактически не располагает достаточными денежными средствами для обслуживания кредита, однако продолжает вносить ежемесячные платежи с небольшими, но регулярными опозданиями, перезанимая необходимые суммы из других источников. В таблице 2 приведен пример неестественных выплат клиента, из которого видно, что платежная дисциплина клиента по отдельному кредиту не выглядит дефолтной, однако в среднем этот клиент не выплачивал обязательства пунктуально ни в один расчетный месяц (средние значения по месяцам представлены в последней строке таблицы). Ниже будет дано определение и алгоритм выявления таких клиентов в датасете.

**Определение 1.** Аномальным клиентом является такой клиент, для которого выполняются два условия:

$$\begin{cases} (a) \text{метка (флаг)} = 0, \\ (b) \min(\text{enc\_paym\_n}) > 0, \quad n = 0, \dots, 24. \end{cases} \quad (\textit{anom})$$

В формуле (*anom*) условие (*a*) означает, что аномальный клиент в датасете является недефолтным, а условие (*b*) – по всем месяцам оплата кредитных обязательств

<sup>4</sup>Можно ли «отбелить» кредитную историю и есть ли черный список должников в Казахстане [Электронный ресурс] / Информационный интернет-портал. URL: <https://tengrinews.kz/kazakhstan-news/li-otbelit-kreditnyu-istoriyu-est-chernyy-spisok-doljnikov-560869/> (дата обращения: 25.11.2025).

проводилась с опозданием. В листинге 4 (см. приложение 1) указана реализация формулы *anom*.

### **Комментарий 3. Пояснение к листингу 4:**

1. Стока 1. Читаем файл `train_target.csv` с целевой переменной в датафрейме `df_y`.
2. Строки 2–3. Из столбца `flag` датафрейма `df_y` извлекаются метки для первых 1000000 клиентов, где `y` – это исходные метки дефолта/недефолта, а `y_` – новые метки, которые будут изменяться в процессе нахождения аномальных клиентов.
3. Стока 5. Инициализируются счетчики `counter_norm` – число не аномальных клиентов, а `counter_anom` – число аномальных клиентов.
4. Стока 6. Создаются пустые списки, в которые будут записываться индексы не аномальных (`ind_norm`) и аномальных клиентов (`ind_anom`).
5. Стока 7. Запускается цикл по всем строкам матрицы `X_pay`, где `i` это порядковый номер клиента (индекс строки), а `x_pay` – массив платежной истории по всем месяцам.
6. Строки 8–11. Проверяется условие, которое определяет изначально недефолтных клиентов (`y_[i] == 0`), у которых по всем месяцам наблюдаются задержки платежей (`min(x_pay) > 0`). Если оба условия для клиента выполняются, то счетчик аномальных клиентов увеличивается на 1 (`counter_anom += 1`) и пополняется список индексов аномальных клиентов (`ind_anom.append(i)`), а его новой метке `y_[i]` присваивается значение 1. Таким образом, часть клиентов, имевших исходную метку 0, переводится в класс аномальных клиентов с меткой 1.
7. Строки 12–14. В случае неудовлетворения этим двум условиям цикл относит клиента к не аномальным (`counter_norm += 1`) и добавляет его индекс в список не аномальных клиентов (`ind_norm`).

Данный алгоритм показал, что доля дефолтных клиентов увеличилась с 3.38% до 35.45% (см. Рисунок 2). Это означает, что часть недефолтных клиентов перешла в класс дефолтных, и именно они удовлетворяют определению (*anom*).

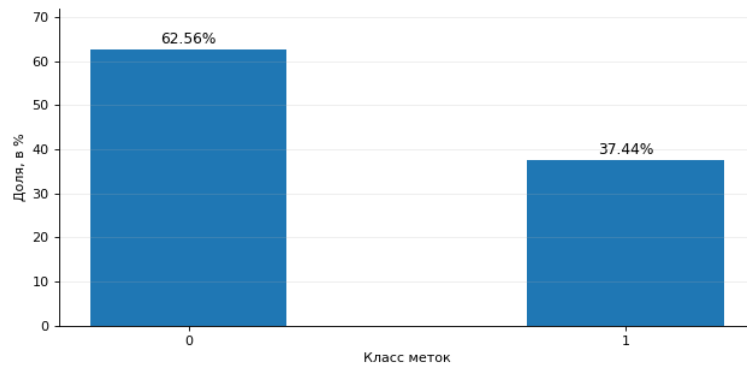


Рисунок 2 – Переход клиентов из класса «0» в класс «1»

Источник: составлено автором на основе: Соревнование на данных кредитных историй [Электронный ресурс] / Open Data Science. – URL: <https://ods.ai/competitions/dl-fintech-bki> (дата обращения: 25.11.2025).

Для большей наглядности результат переклассификации представлен на диаграмме Эйлера-Венна (см. Рисунок 3), показывающей пересечение множеств клиентов с дефолтными и недефолтными метками. Красный круг соответствует всем клиентам с исходной недефолтной меткой (96.62%), зеленый круг – клиентам с дефолтной меткой (3.38%), а их пересечение отражает группу аномальных клиентов (32.06%).

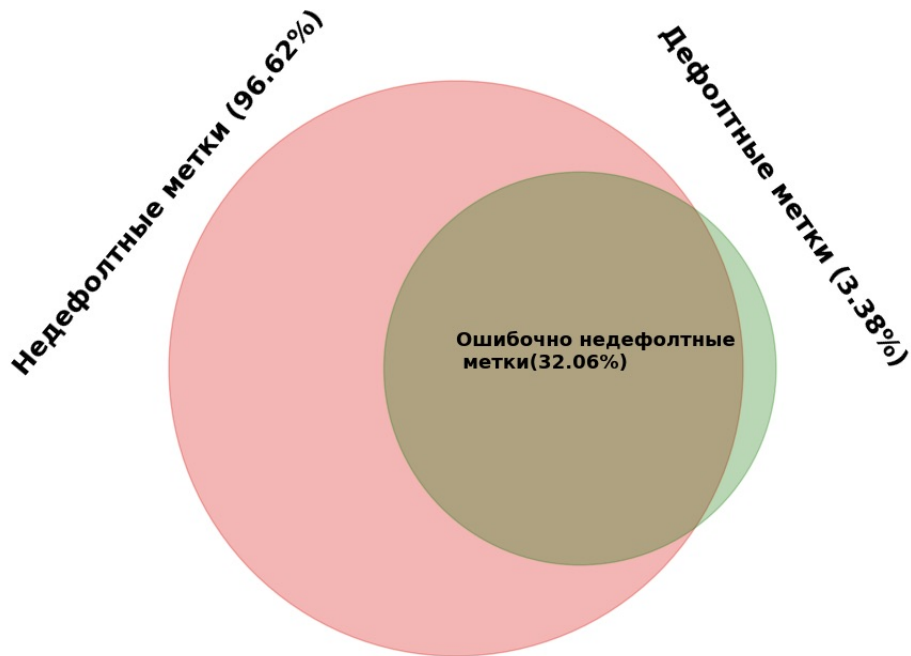


Рисунок 3 – Пересечение дефолтных и недефолтных меток с выделением ошибочно недефолтных клиентов

Источник: составлено автором на основе: Соревнование на данных кредитных историй [Электронный ресурс] / Open Data Science. – URL: <https://ods.ai/competitions/dl-fintech-bki> (дата обращения: 25.11.2025).

Далее необходимо посмотреть как отреагирует алгоритм случайного леса на данных преобразованиях согласно определению (*anom*). Под реакцией алгоритма пони-

мается изменение точности метрик. После выявления аномальных клиентов качество модели значительно улучшилось (см. Таблицу 4).

Таблица 4 – Изменение точности метрик на признаках:  $enc\_payt\_0, \dots, enc\_payt\_24$ .

Алгоритм – Случайный лес						
Flag метка	Precision точность	Recall полнота	f1-score f1-мера	Accuracy точность	ROC-AUC	Количество
Тренировочная выборка						
0	0.99	0.97	0.98	0.97	0.98	469239
1	0.94	0.99	0.96			280761
Тестовая выборка						
0	0.99	0.97	0.98	0.97	0.98	156325
1	0.94	0.99	0.96			93676

Источник: составлено автором на основе: Соревнование на данных кредитных историй [Электронный ресурс] / Open Data Science. – URL: <https://ods.ai/competitions/dl-fintech-bki> (дата обращения: 25.11.2025).

Если сравнить первоначальные результаты, то можно заметить, что если до этого модель игнорировала класс дефолтных клиентов (все метрики равнялись нулю, см. Таблицу 3), то после переклассификации метрики точности стали высокими: на обучающей выборке  $precision = 0.94$ ,  $recall = 0.99$ ,  $f1 - score = 0.96$ , аналогичные значения показывает тестовая выборка. При этом можно качество недефолтного класса практически не ухудшилось:  $precision$  снизился с 1.00 до 0.99, а метрики  $recall$  и  $f1 - score$  не изменились. Также  $ROC AUC$  увеличился с 0.51 до 0.97, что свидетельствует о том, что теперь модель хорошо различает дефолтных и недефолтных клиентов. Одновременно увеличилось количество дефолтных клиентов в выборках за счет вновь выявленных аномальных наблюдений, что позволило алгоритму случайного леса показать эффективные результаты на обоих классах.

### 1.1.3 Статистический тест Колмогорова-Смирнова

Понятие аномального клиента, изложенное в разделе 1.1.2, основано на анализе платежного поведения заемщиков. Применение данного подхода привело к существенному улучшению метрик точности алгоритма случайного леса. Поэтому на следующем шаге проводится статистический анализ, позволяющий увидеть и обосновать, насколько поведение аномальных клиентов отличается от поведения дефолтных клиентов. Для проверки равенства (неравенства) функций распределения двух выборок применяется

критерий Колмогорова-Смирнова. А.Н. Колмогоровым<sup>5</sup> и Н.В. Смирновым<sup>6</sup> была доказана следующая теорема:

**Теорема 1.** Пусть  $F_{X_1}(x)$ ,  $F_{X_2}(x)$  – выборочные функции распределения двух независимых выборок объёмами  $n$  и  $m$ . Обозначим:

$$D_{n,m} = \sup_x |F_{X_1}(x) - F_{X_2}(x)|.$$

Тогда для любого  $t > 0$  выполняется:

$$\forall t > 0 : \lim_{n,m \rightarrow \infty} P\left(\sqrt{\frac{nm}{n+m}} D_{n,m} \leq t\right) = K(t) = \sum_{j=-\infty}^{+\infty} (-1)^j e^{-2j^2 t^2}. \quad (3)$$

На основе статистики  $D_{n,m}$  строится статистика критерия

$$t_{n,m} = \sqrt{\frac{nm}{n+m}} D_{n,m}.$$

С помощью этой статистики проверяются нулевая и альтернативная гипотезы о совпадении распределений двух выборок:

$$\begin{cases} \mathcal{H}_0 : F_{X_1}(x) = F_{X_2}(x), \\ \mathcal{H}_1 : F_{X_1}(x) \neq F_{X_2}(x). \end{cases}$$

При заданном уровне значимости  $\alpha$  выбирается критическое значение  $K_\alpha$  распределения Колмогорова. Правило принятия решения имеет следующий вид:

$$\begin{cases} t_{n,m} \leq K_\alpha, & \text{нулевая гипотеза } \mathcal{H}_0 \text{ принимается,} \\ t_{n,m} > K_\alpha, & \text{нулевая гипотеза } \mathcal{H}_0 \text{ отвергается в пользу } \mathcal{H}_1. \end{cases}$$

Для применения критерия Колмогорова-Смирнова клиенты были разделены на две подвыборки:

$$\begin{cases} X_1 := X_{1 \rightarrow 1}, & (\text{default}), \\ X_2 := X_{0 \rightarrow 1}, & (\text{anom}), \end{cases}$$

где  $X_1$  – выборка клиентов, являющихся дефолтными до и после условия аномальности;  $X_2$  – выборка клиентов, у которых метка изменилась с «0» на «1».

<sup>5</sup>Колмогоров А.Н. (1903-1987) – Герой Социалистического Труда, профессор Московского государственного университета, академик АН СССР – крупнейший математик XX века, является одним из основоположников современной теории вероятности.

<sup>6</sup>Смирнов Н.В. (1900-1966) – член-корреспондент АН СССР, один из создателей непараметрических методов математической статистики и теории предельных распределений порядковых статистик.

Задача состоит в том, чтобы выяснить, принадлежат ли выборки  $X_1$  и  $X_2$  одному распределению, применив критерий Колмогорова-Смирнова. Если выборки  $X_1$  и  $X_2$  принадлежат одному распределению (принятие гипотезы  $\mathcal{H}_0$ ), то платежная дисциплина дефолтных и аномальных клиентов одинакова. Критерий Колмогорова-Смирнова реализуется в листинге 5 (см. приложение 1).

**Комментарий 4.** Пояснение к листингу 5:

1. Строки 1–2. Выбирается признак за 15 месяц `enc_paym_15` и соответствующий столбец из `X_pay` сохраняется в переменную `T`.
2. Строки 3–4. Формируются три выборки по этому признаку: `x00` – клиенты с меткой «0» до и после выявления аномальных клиентов; `x01` – аномальные клиенты, у которых изменилась метка с «0» на «1» после выявления аномальности; `x11` – клиенты с меткой «1» до и после выявления аномальных клиентов.
3. Строки 5–7. Происходит фильтрация выборок `x00`, `x01`, `x11`, у которых отбрасываются наблюдения с платежными статусами 0, 1, 2, 3, 4, 5, поскольку агрегация данных была произведена по среднему значению.
4. Страна 10. Определяется функция `my_cdf` по двум выборкам `x1` и `x2`.
5. Страна 11. Выбирается максимальное значение (опоздание) из этих двух выборок.
6. Страна 12. Создаются пустые списки `F1` и `F2`, в которые будут записываться значения.
7. Страна 13. Определяется длина выборок `x1` и `x2`, состоящих из положительных значений.
8. Строки 14–16. В цикле для каждой точки `tm` с шагом 0.01 считается сколько наблюдений для выборок `x1` и `x2` попадают в интервал  $(0; t)$ .
9. Строки 17–19. Вычисляется вероятность каждой точки и получаются значения функции распределения (*CDF*). Далее считается статистика Колмогорова по формуле:  $\sup_x |F_{X_1}(x) - F_{X_2}(x)| \sqrt{\frac{nm}{n+m}}$ .
10. Строки 20–23. Задается шаг `step = 0.01` и вычисляются значения функции распределения *CDF* для пары «аномальных и дефолтных», а затем для «аномальных и недефолтных» клиентов.

Датасет содержит 25 дисциплинарных признаков (`enc_paym_0, …, enc_paym_24`), и для каждого из них необходимо применить данный тест, чтобы выяснить, для каких

признаков принимается та или иная гипотеза. Поскольку в датасете 3 000 000 наблюдений (объемы выборок  $n$  и  $m$  велики), то при уровне значимости  $\alpha = 0.05$  в качестве критического значения используется  $K_\alpha = 1.36$ .

Анализ показал, что первые 15 месяцев ( $enc\_paym\_0, \dots, enc\_paym\_14$ ) поведение аномальных клиентов отличается от поведения дефолтных, а начиная с 16 по 25 месяц ( $enc\_paym\_15, \dots, enc\_paym\_24$ ), поведение становится схожим. Так, например, для 15 месяца ( $enc\_paym\_14$ ) (см. Рисунок 4) расчетное значение статистики  $t_{n,m} = 1.41$ . Поскольку  $K_\alpha = 1.36$  и  $t_{n,m} > K_\alpha$ , принимается гипотеза  $\mathcal{H}_1$ . Это означает, что финансовое поведение аномальных клиентов, ранее относившихся к классу «0», отличается от поведения дефолтных клиентов.

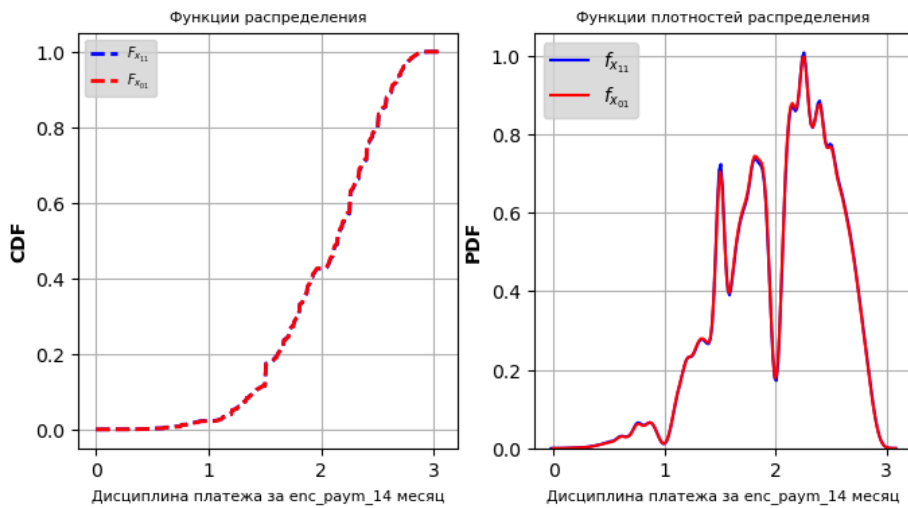


Рисунок 4 – Функции распределения и функции плотностей распределения дефолтных и аномальных клиентов

Источник: составлено автором на основе: Соревнование на данных кредитных историй [Электронный ресурс] / Open Data Science. – URL: <https://ods.ai/competitions/dl-fintech-bki> (дата обращения: 25.11.2025).

Для 16 месяца ( $enc\_paym\_15$ ) (см. Рисунок 5) значение  $t_{n,m} = 1.31$ . В этом случае  $t_{n,m} < K_\alpha$ , поэтому принимается гипотеза  $\mathcal{H}_0$ . Распределения значений признака для аномальных и дефолтных клиентов не различаются.

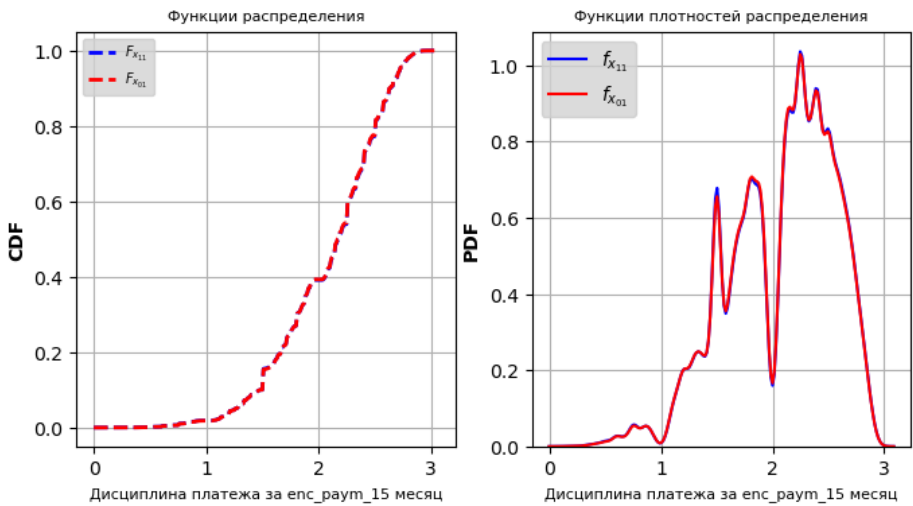


Рисунок 5 – Функции распределения и функции плотностей распределения дефолтных и аномальных клиентов

Источник: составлено автором на основе: Соревнование на данных кредитных историй [Электронный ресурс] / Open Data Science. – URL: <https://ods.ai/competitions/dl-fintech-bki> (дата обращения: 25.11.2025).

Таким образом, поведение аномальных и дефолтных клиентов до 15 месяца различно, а начиная с 16 месяца их поведение становится схожим. Возникает следующий вопрос, если поведение аномальных клиентов отличается от поведения дефолтных ( $enc\_paym\_15, \dots, enc\_paym\_24$ ), то не является ли оно более близким к поведению недефолтных клиентов.

При сравнении аномальных и недефолтных клиентов анализ показал, что за 15 месяцев (см. Рисунок 6) их выплаты также существенно различались, поскольку при значении статистики  $t_{n,m} = 70.92$  и условии  $t_{n,m} > K_\alpha$  принимается гипотеза  $\mathcal{H}_1$ , что свидетельствует об их абсолютном различии по поведению.

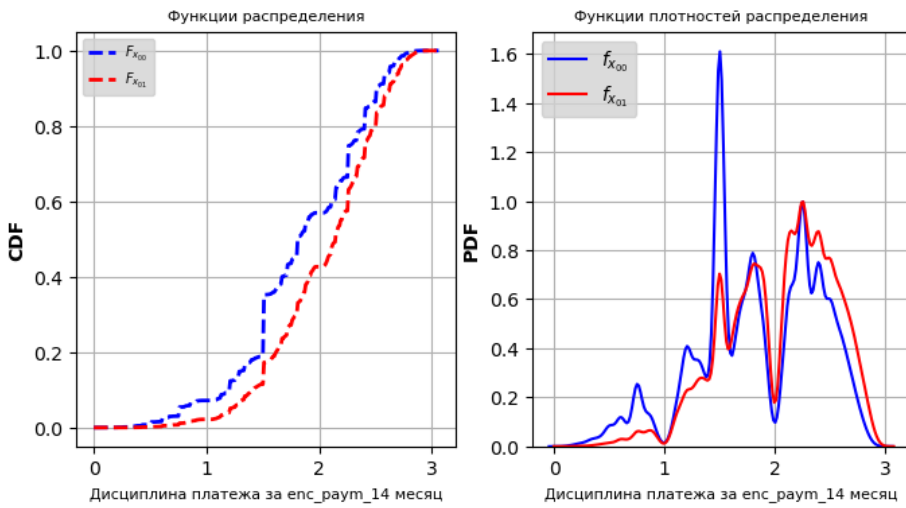


Рисунок 6 – Функции распределения и функции плотностей распределения недефолтных и аномальных клиентов

Источник: составлено автором на основе: Соревнование на данных кредитных историй [Электронный ресурс] / Open Data Science. – URL: <https://ods.ai/competitions/dl-fintech-bki> (дата обращения: 25.11.2025).

Если сравнить поведение аномальных и недефолтных клиентов за 16 месяц (см. Рисунок 7), то также наблюдается существенное различие. Расчетное значение статистики  $t_{n,m} = 68.6$  и поскольку  $t_{n,m} > K_\alpha$ , принимается гипотеза  $\mathcal{H}_1$ .

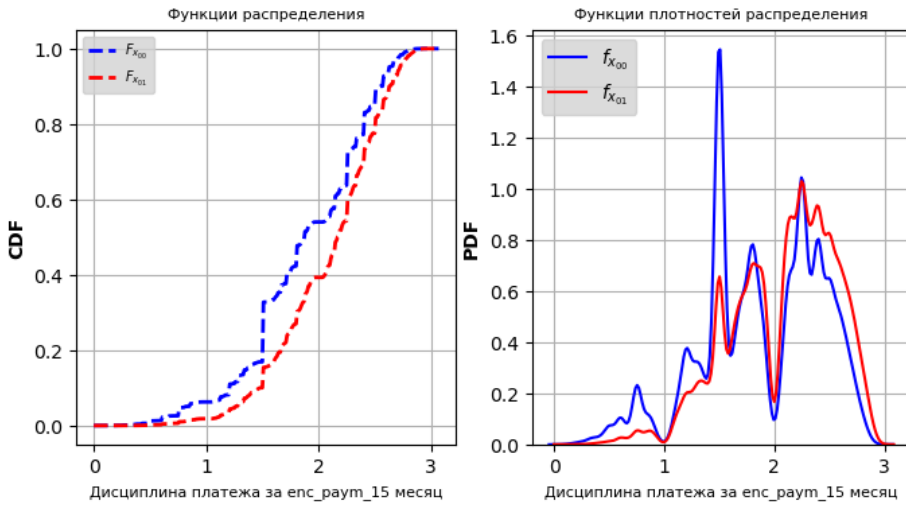


Рисунок 7 – Функции распределения и функции плотностей распределения недефолтных и аномальных клиентов

Источник: составлено автором на основе: Соревнование на данных кредитных историй [Электронный ресурс] / Open Data Science. – URL: <https://ods.ai/competitions/dl-fintech-bki> (дата обращения: 25.11.2025).

В результате анализа при сравнении аномальных и дефолтных клиентов была выявлена их схожесть после 16 месяца, тогда как при сравнении аномальных и недефолтных за весь рассматриваемый период наблюдается устойчивое расхождение. Для наглядности результаты сведены в следующую таблицу (см. Таблицу 5).

Таблица 5 – Результаты критерия Колмогорова–Смирнова за 25 месяцев

Месяц	Аномальные и дефолтные клиенты		Аномальные и недефолтные клиенты	
	Статистика	Принятие гипотезы	Статистика	Принятие гипотезы
enc_paym_0	$t_{n,m} = 1.65, t_{n,m} > K_\alpha$	$\mathcal{H}_1$	$t_{n,m} = 61.40, t_{n,m} > K_\alpha$	$\mathcal{H}_1$
enc_paym_1	$t_{n,m} = 2.49, t_{n,m} > K_\alpha$	$\mathcal{H}_1$	$t_{n,m} = 72.44, t_{n,m} > K_\alpha$	$\mathcal{H}_1$
enc_paym_2	$t_{n,m} = 3.09, t_{n,m} > K_\alpha$	$\mathcal{H}_1$	$t_{n,m} = 62.21, t_{n,m} > K_\alpha$	$\mathcal{H}_1$
enc_paym_3	$t_{n,m} = 3.33, t_{n,m} > K_\alpha$	$\mathcal{H}_1$	$t_{n,m} = 62.03, t_{n,m} > K_\alpha$	$\mathcal{H}_1$
enc_paym_4	$t_{n,m} = 3.29, t_{n,m} > K_\alpha$	$\mathcal{H}_1$	$t_{n,m} = 63.85, t_{n,m} > K_\alpha$	$\mathcal{H}_1$
enc_paym_5	$t_{n,m} = 3.20, t_{n,m} > K_\alpha$	$\mathcal{H}_1$	$t_{n,m} = 65.22, t_{n,m} > K_\alpha$	$\mathcal{H}_1$
enc_paym_6	$t_{n,m} = 2.88, t_{n,m} > K_\alpha$	$\mathcal{H}_1$	$t_{n,m} = 67.04, t_{n,m} > K_\alpha$	$\mathcal{H}_1$
enc_paym_7	$t_{n,m} = 2.50, t_{n,m} > K_\alpha$	$\mathcal{H}_1$	$t_{n,m} = 61.43, t_{n,m} > K_\alpha$	$\mathcal{H}_1$
enc_paym_8	$t_{n,m} = 2.28, t_{n,m} > K_\alpha$	$\mathcal{H}_1$	$t_{n,m} = 56.28, t_{n,m} > K_\alpha$	$\mathcal{H}_1$
enc_paym_9	$t_{n,m} = 2.00, t_{n,m} > K_\alpha$	$\mathcal{H}_1$	$t_{n,m} = 60.88, t_{n,m} > K_\alpha$	$\mathcal{H}_1$
enc_paym_10	$t_{n,m} = 1.90, t_{n,m} > K_\alpha$	$\mathcal{H}_1$	$t_{n,m} = 68.11, t_{n,m} > K_\alpha$	$\mathcal{H}_1$
enc_paym_11	$t_{n,m} = 1.85, t_{n,m} > K_\alpha$	$\mathcal{H}_1$	$t_{n,m} = 71.93, t_{n,m} > K_\alpha$	$\mathcal{H}_1$
enc_paym_12	$t_{n,m} = 1.72, t_{n,m} > K_\alpha$	$\mathcal{H}_1$	$t_{n,m} = 74.84, t_{n,m} > K_\alpha$	$\mathcal{H}_1$
enc_paym_13	$t_{n,m} = 1.53, t_{n,m} > K_\alpha$	$\mathcal{H}_1$	$t_{n,m} = 73.55, t_{n,m} > K_\alpha$	$\mathcal{H}_1$
enc_paym_14	$t_{n,m} = 1.41, t_{n,m} > K_\alpha$	$\mathcal{H}_1$	$t_{n,m} = 70.92, t_{n,m} > K_\alpha$	$\mathcal{H}_1$
enc_paym_15	$t_{n,m} = 1.31, t_{n,m} < K_\alpha$	$\mathcal{H}_0$	$t_{n,m} = 68.86, t_{n,m} > K_\alpha$	$\mathcal{H}_1$
enc_paym_16	$t_{n,m} = 1.17, t_{n,m} < K_\alpha$	$\mathcal{H}_0$	$t_{n,m} = 68.26, t_{n,m} > K_\alpha$	$\mathcal{H}_1$
enc_paym_17	$t_{n,m} = 1.03, t_{n,m} < K_\alpha$	$\mathcal{H}_0$	$t_{n,m} = 67.03, t_{n,m} > K_\alpha$	$\mathcal{H}_1$
enc_paym_18	$t_{n,m} = 0.99, t_{n,m} < K_\alpha$	$\mathcal{H}_0$	$t_{n,m} = 65.48, t_{n,m} > K_\alpha$	$\mathcal{H}_1$
enc_paym_19	$t_{n,m} = 0.84, t_{n,m} < K_\alpha$	$\mathcal{H}_0$	$t_{n,m} = 64.54, t_{n,m} > K_\alpha$	$\mathcal{H}_1$
enc_paym_20	$t_{n,m} = 0.79, t_{n,m} < K_\alpha$	$\mathcal{H}_0$	$t_{n,m} = 62.74, t_{n,m} > K_\alpha$	$\mathcal{H}_1$
enc_paym_21	$t_{n,m} = 0.80, t_{n,m} < K_\alpha$	$\mathcal{H}_0$	$t_{n,m} = 60.50, t_{n,m} > K_\alpha$	$\mathcal{H}_1$
enc_paym_22	$t_{n,m} = 0.80, t_{n,m} < K_\alpha$	$\mathcal{H}_0$	$t_{n,m} = 58.80, t_{n,m} > K_\alpha$	$\mathcal{H}_1$
enc_paym_23	$t_{n,m} = 0.80, t_{n,m} < K_\alpha$	$\mathcal{H}_0$	$t_{n,m} = 57.53, t_{n,m} > K_\alpha$	$\mathcal{H}_1$
enc_paym_24	$t_{n,m} = 0.68, t_{n,m} < K_\alpha$	$\mathcal{H}_0$	$t_{n,m} = 53.10, t_{n,m} > K_\alpha$	$\mathcal{H}_1$

Примечание:  $K_\alpha = 1.36$  при уровне значимости  $\alpha = 0.05$ .

Из результатов применения критерия Колмогорова–Смирнова (см. Таблицу 5) видно, что все значения статистики  $t_{n,m}$  при сравнении распределений  $F_{X_{01}}(x)$  и  $F_{X_{11}}(x)$  меньше, чем при сравнении  $F_{X_{01}}(x)$  и  $F_{X_{00}}(x)$ . Отсюда следует, что аномальные клиенты по своему платежному поведению ближе к классу дефолтных заемщиков, чем к недефолтным.

#### 1.1.4 Статистический тест на равенство линейного коэффициента корреляции Пирсона

### 1.2 Базовые алгоритмы оценки вероятности возврата кредита

#### 1.2.1 Деревья решений

Необходимо протестировать предобработанные данные на таких базовых алгоритмах, как деревья решений (*Decision Tree*), случайный лес (*RandomForest*), градиентный бустинг (*GradientBoosting*) и нейронные сети (*NeuralNetworks*). Важно отме-

тить, что алгоритмы будут тестироваться на 1 000 000 данных и полученные метрики точности будут сравниваться с метриками, которые будут получены после тестирования на больших данных (3 000 000 клиентов). Тестирование на небольших данных проводится с целью экономии объема оперативной памяти.

Деревья решений (*DecisionTree*) – это один из алгоритмов МО, который по шагам делит заемщиков на группы с помощью последовательных вопросов вида «да» или «нет»<sup>7</sup>. На каждом шаге выбирается такой признак, который сильнее влияет на результат, а в конечных вершинах алгоритм выдает прогноз вероятности дефолта клиента.

Результаты алгоритма решающих деревьев (см. Таблицу 6) демонстрируют высокую точность. Видно, что метрики класса «0» на тренировочной выборке:  $precision = 1.00$ ,  $recall = 0.99$ ,  $f1 - score = 0.99$  выше в отличие от тестовой выборки, где  $precision = 0.98$ ,  $recall = 0.97$ ,  $f1 - score = 0.97$ . Это означает, что алгоритм лучше распознает недефолтных клиентов на тренировочных данных, чем на тестовых. Аналогичная ситуация наблюдается у класса «1», где на тренировочных данных метрики выше, чем на тестовых. При этом результаты на двух выборках ниже, чем у «0» класса, что указывает на то, что дефолтные клиенты хуже распознаются.

Таблица 6 – Метрики точности алгоритма Decision Tree на 1 000 000 данных

Flag метка	Precision точность	Recall полнота	f1-score f1-мера	Accuracy точность	ROC-AUC	Количество
Тренировочная выборка						
0	1.00	0.99	0.99	0.99	0.99	469239
1	0.98	1.00	0.99			280761
Тестовая выборка						
0	0.98	0.97	0.97	0.97	0.97	156325
1	0.95	0.96	0.96			93676

Источник: составлено автором на основе: Соревнование на данных кредитных историй [Электронный ресурс] / Open Data Science. – URL: <https://ods.ai/competitions/dl-fintech-bki> (дата обращения: 25.11.2025).

Также метрики *accuracy* и *ROC – AUC* (см. Рисунок 8) выше на тренировочной выборке, чем на тестовой. Следовательно, можно сделать вывод о наличии переобучения алгоритма *Decision Tree*.

<sup>7</sup> Wang H. Application of Decision Tree Model in Personal Credit Scoring and Its Fairness Optimization // Advances in Economics, Management and Political Sciences. 2025. C. 109–118 (дата обращения 25.11.2025).

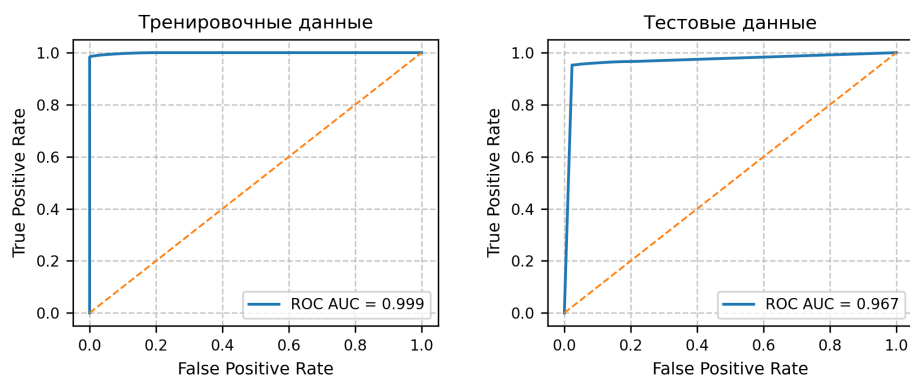


Рисунок 8 – Метрика ROC–AUC на тренировочных и тестовых данных алгоритма Decision Tree

Источник: составлено автором на основе: Соревнование на данных кредитных историй [Электронный ресурс] / Open Data Science. – URL: <https://ods.ai/competitions/dl-fintech-bki> (дата обращения: 25.11.2025).

Для более подробной картины приведена матрица ошибок (см. Таблицу 9). На тренировочных данных верно классифицированы 469 223 недефолтных и 275 761 дефолтных клиентов. При этом 5000 недефолтных клиентов ошибочно отнесены к дефолтным, и только 16 дефолтов алгоритм принял за недефолт.

На тестовой выборке алгоритм больше ошибается. Верно распознаны 152 717 недефолтных и 89 213 дефолтных клиентов. Алгоритм ошибочно принял 4 463 недефолта за дефолт, и 3 608 дефолтов за недефолт. Таким образом, матрица ошибок указывает на ухудшение предсказаний решающих деревьев на тестовых данных, что подтверждает вывод о переобучении данного алгоритма.

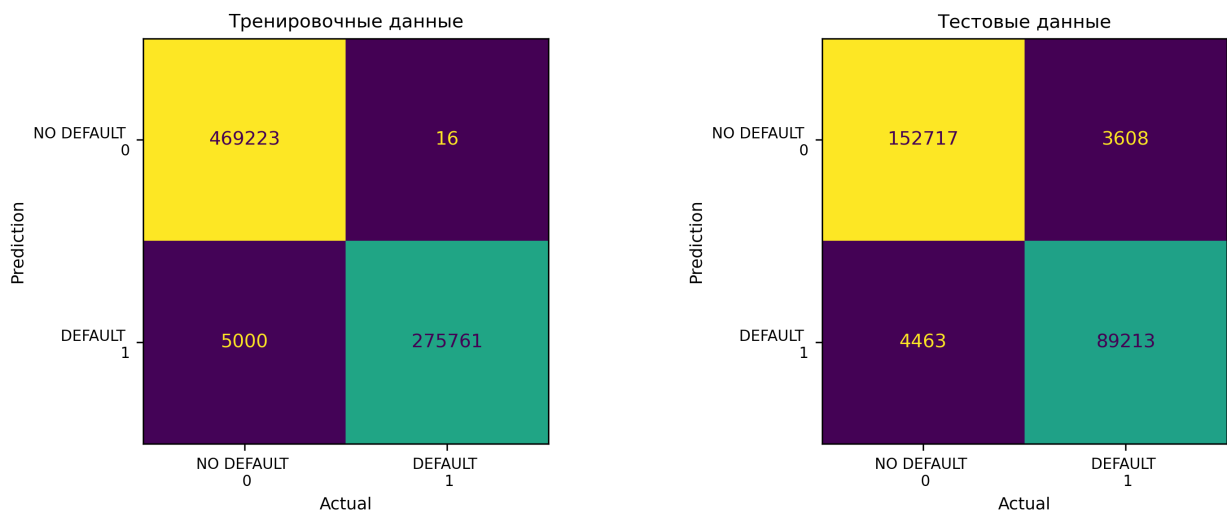


Рисунок 9 – Матрица ошибок на тренировочных и тестовых данных алгоритма Decision Tree

Источник: составлено автором на основе: Соревнование на данных кредитных историй [Электронный ресурс] / Open Data Science. – URL: <https://ods.ai/competitions/dl-fintech-bki> (дата обращения: 25.11.2025).

## 1.2.2 Случайный лес

Случайный лес (*RandomForest*) – это алгоритм МО, состоящий из множества отдельных независимых деревьев решений. Каждое дерево выдает свое предсказание по возврату кредита, а затем итоговое предсказание определяется по принципу большинства.

Алгоритм случайного леса также показывает высокие результаты распознавания клиентов (см. Таблицу 7). Можно заметить, что метрики класса «0» *recall* и *f1-score* на тренировочных данных выше, чем на тестовых, а метрика *precision* остается на одинаково высоком уровне. Метрики класса «1» *precision* и *f1-score* также на тренировочной выборке выше, чем на тестовой.

Таблица 7 – Метрики точности алгоритма Random Forest на 1 000 000 данных

Flag метка	Precision точность	Recall полнота	f1-score f1-мера	Accuracy точность	ROC-AUC	Количество
Тренировочная выборка						
0	1.00	0.99	0.99	0.99	0.99	469239
1	0.98	1.00	0.99			280761
Тестовая выборка						
0	1.00	0.97	0.98	0.98	0.98	156325
1	0.95	1.00	0.97			93676

Источник: составлено автором на основе: Соревнование на данных кредитных историй [Электронный ресурс] / Open Data Science. – URL: <https://ods.ai/competitions/dl-fintech-bki> (дата обращения: 25.11.2025).

Метрики *accuracy* и *ROC – AUC* (см. Рисунок 10) показывают небольшую разницу между тренировочными и тестовыми данными. Это также, как и в предыдущем алгоритме указывает на склонность случайного леса к переобучению.

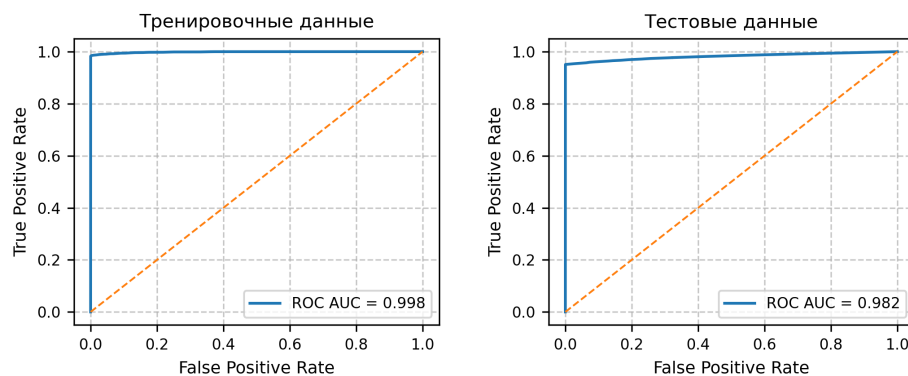


Рисунок 10 – Метрика ROC-AUC на тренировочных и тестовых данных алгоритма Random Forest

Источник: составлено автором на основе: Соревнование на данных кредитных историй [Электронный ресурс] / Open Data Science. – URL: <https://ods.ai/competitions/dl-fintech-bki> (дата обращения: 25.11.2025).

Если посмотреть в количественном разрезе (см. Рисунок 11), то на тренировочных данных алгоритм 469 194 недефолтных клиентов определяет верно, а 4 982 неверно относит к недефолтным. Также 275 779 дефолтов алгоритм правильно определяет, но 45 клиентов неверно отнесены к недефолтным.

На тестовых данных случайный лес показывает хуже результат: 156 170 недефолтных клиентов правильно распознаются, а 4 600 неверно определяются как дефолтные. Также 89 076 дефолтов правильно классифицируются, однако 155 ошибочно относятся к недефолтным. Поэтому матрица ошибок также обосновывает склонность случайного леса к переобучению.

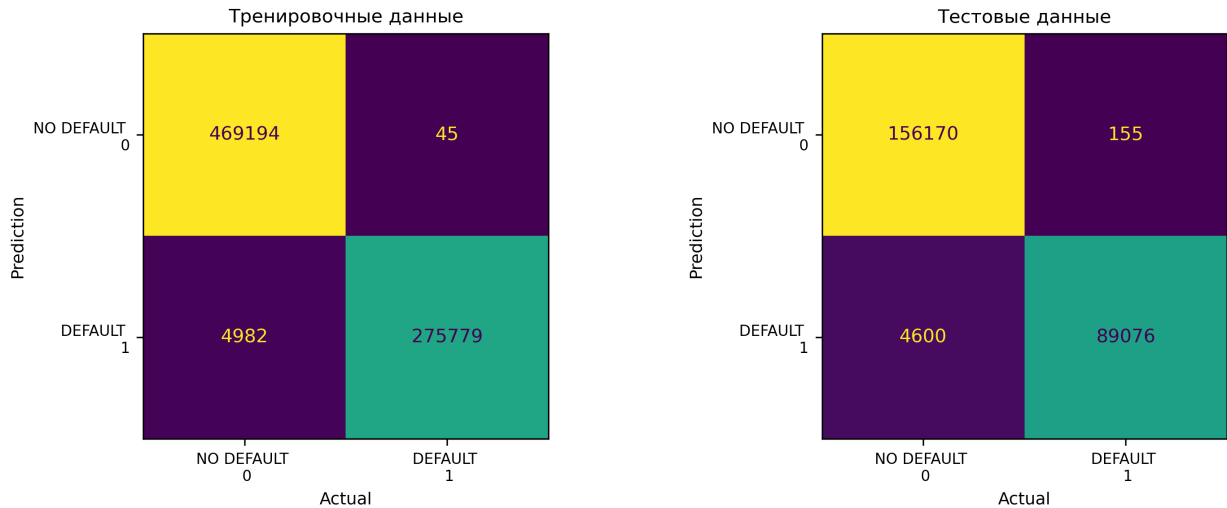


Рисунок 11 – Матрица ошибок на тренировочных и тестовых данных алгоритма Random Forest

Источник: составлено автором на основе: Соревнование на данных кредитных историй [Электронный ресурс] / Open Data Science. – URL: <https://ods.ai/competitions/dl-fintech-bki> (дата обращения: 25.11.2025).

### 1.2.3 Градиентный бустинг

Градиентный бустинг (*Gradient Boosting*) –

Все метрики точности алгоритма градиентного бустинга (см. Таблицу 8) обоих классов показывают высокие результаты, что делает данную модель идеальной, не склонную к ошибочным предсказаниям.

Таблица 8 – Метрики точности алгоритма Gradient Boosting на 1 000 000 данных

Flag метка	Precision точность	Recall полнота	f1-score f1-мера	Accuracy точность	ROC-AUC	Количество
Тренировочная выборка						
0	0.99	0.97	0.98	0.98	0.98	469239
1	0.95	0.99	0.97			280761

Тестовая выборка						
0	0.99	0.97	0.98	0.98	0.98	156325
1	0.95	0.99	0.97			93676

Источник: составлено автором на основе: Соревнование на данных кредитных историй [Электронный ресурс] / Open Data Science. – URL: <https://ods.ai/competitions/dl-fintech-bki> (дата обращения: 25.11.2025).

Также это могут подтвердить метрики *accuracy* и *ROC – AUC* (см. Рисунок 12), которые показывают идентичные результаты на обеих выборках. Это делает алгоритм градиентного бустинга наиболее предпочтительным в прогнозировании дефолта.

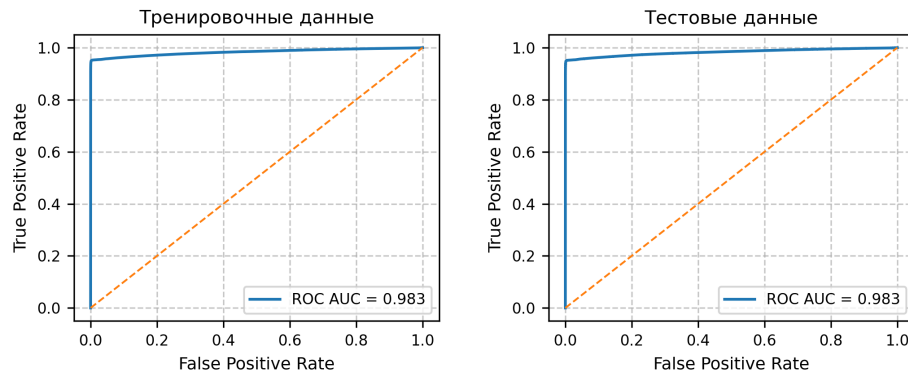


Рисунок 12 – Метрика ROC–AUC на тренировочных и тестовых данных алгоритма Gradient Boosting

Источник: составлено автором на основе: Соревнование на данных кредитных историй [Электронный ресурс] / Open Data Science. – URL: <https://ods.ai/competitions/dl-fintech-bki> (дата обращения: 25.11.2025).

Матрица ошибок (см. Рисунок 13) показывает, что на тренировочных данных алгоритм правильно определяет 466 682 недефолтных клиентов, а 13 404 ошибочно относит к дефолтным. Верно классифицирует 267 357 дефолтных клиентов, а 2 557 неверно предсказывает как недефолтных.

На тестовых данных неверно относит 4 561 недефолтных клиентов к дефолтным, а 868 дефолтных к недефолтным, что указывает на сбалансированность предсказаний алгоритма.

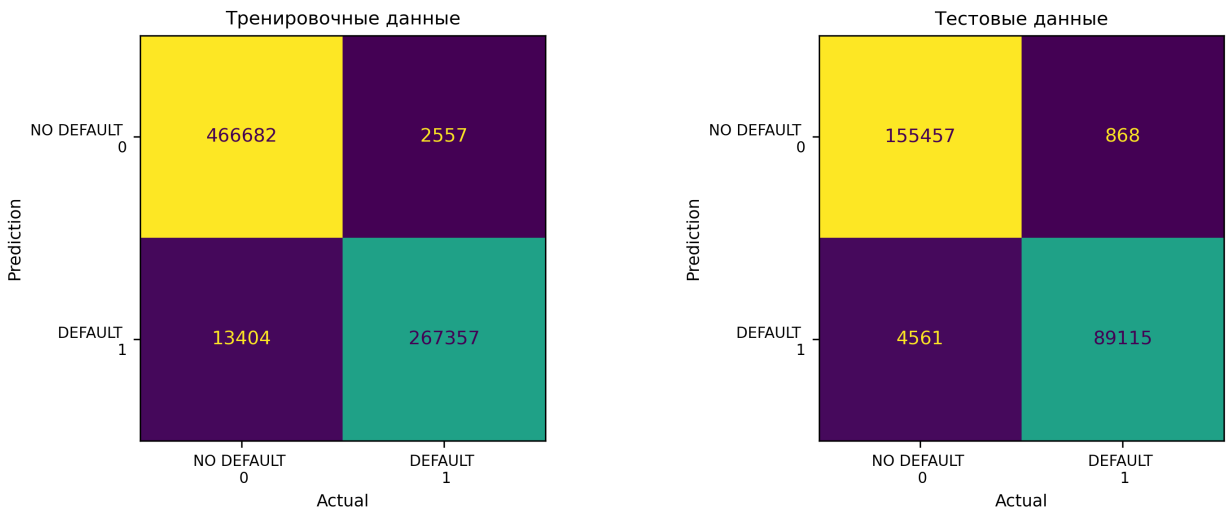


Рисунок 13 – Матрица ошибок на тренировочных данных алгоритма Gradient Boosting

Источник: составлено автором на основе: Соревнование на данных кредитных историй [Электронный ресурс] / Open Data Science. – URL: <https://ods.ai/competitions/dl-fintech-bki> (дата обращения: 25.11.2025).

#### 1.2.4 Нейронные сети

Нейронные сети (*Neural Networks*) – математическая модель, позволяющая компьютерам имитировать работу человеческого мозга. Она состоит из множества простых узлов, которые образуют нейроны, сгруппированных в слои. Главными задачами нейронных сетей являются распознавание скрытых закономерностей в данных и делать прогноз. В данной работе используется нейронная сеть, состоящая из трех слоев (см. Рисунок 14):

1. входной слой – состоит из 25 нейронов (равен количеству дисциплинарных признаков:  $enc\_payt\_0, \dots, enc\_payt\_24$ );
2. скрытый слой – 64 нейрона;
3. выходной слой – 1 нейрон, который дает оценку вероятности ( $p$ ) дефолта заемщика.

На вход передаются значения платежной дисциплины клиентов  $enc\_payt\_0, \dots, enc\_payt\_24$ . Далее 25 признаков поступают в скрытый слой, состоящий из 64 нейронов. Каждому признаку присваивается свой вес важности и вычисляется его взвешенная сумма. К полученной сумме применяется функция активации (в данной работе используется *ReLU*), которая «включает» нейрон, если суммарный сигнал превышает пороговое значение. В таком случае нейрон передает сигнал каждому связанному с ним нейроном в следующем слое. Если сумма ниже порогового значения, то нейрон «выключается» и данный признак является незначимым. В скрытом слое образуются 64 различные комбинации для 25 признаков и далее каждый из 64 нейронов выдает

собственную оценку вероятности. В выходном слое из полученных 64 сигналов выбирается ответ с наибольшим весом. Таким образом, формируется ответ заемщику о выдаче или отказе в кредите.

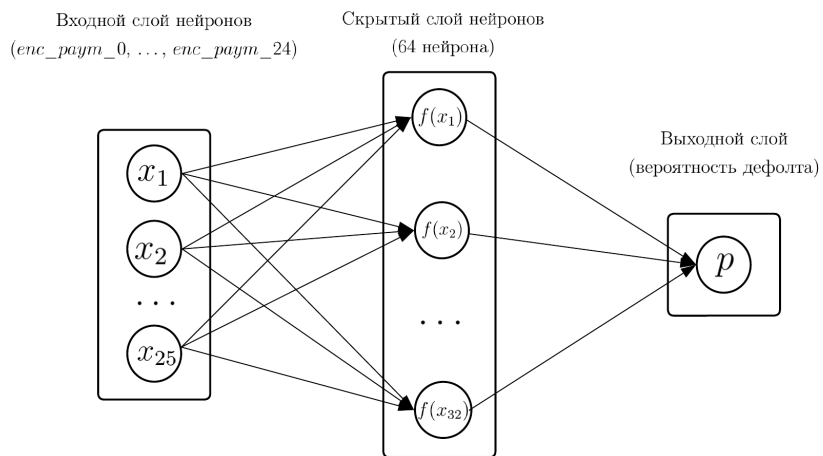


Рисунок 14 – Структура нейронной сети для оценки вероятности дефолта заемщика

Источник: составлено автором на основе программы Lucidchart (дата обращения: 25.11.2025).

Таблица 9 – Метрики точности алгоритма Neural Network на 1 000 000 данных

Flag метка	Precision точность	Recall полнота	f1-score f1-мера	Accuracy точность	ROC-AUC	Количество
Тренировочная выборка						
0	1.00	0.97	0.99	0.98	0.98	469239
1	0.95	1.00	0.97			280761
Тестовая выборка						
0	1.00	0.97	0.98	0.98	0.98	156325
1	0.95	1.00	0.97			93676

Источник: составлено автором на основе: Соревнование на данных кредитных историй [Электронный ресурс] / Open Data Science. – URL: <https://ods.ai/competitions/dl-fintech-bki> (дата обращения: 25.11.2025).

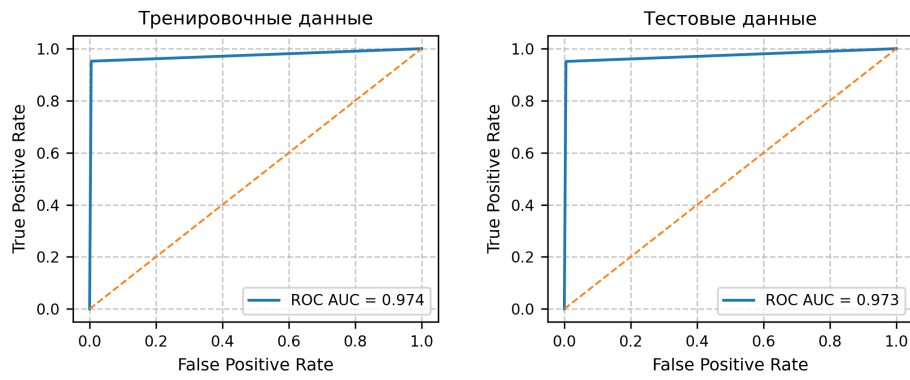


Рисунок 15 – Метрика ROC–AUC на тренировочных и тестовых данных алгоритма Neural Network

Источник: составлено автором на основе: Соревнование на данных кредитных историй [Электронный ресурс] / Open Data Science. – URL: <https://ods.ai/competitions/dl-fintech-bki> (дата обращения: 25.11.2025).

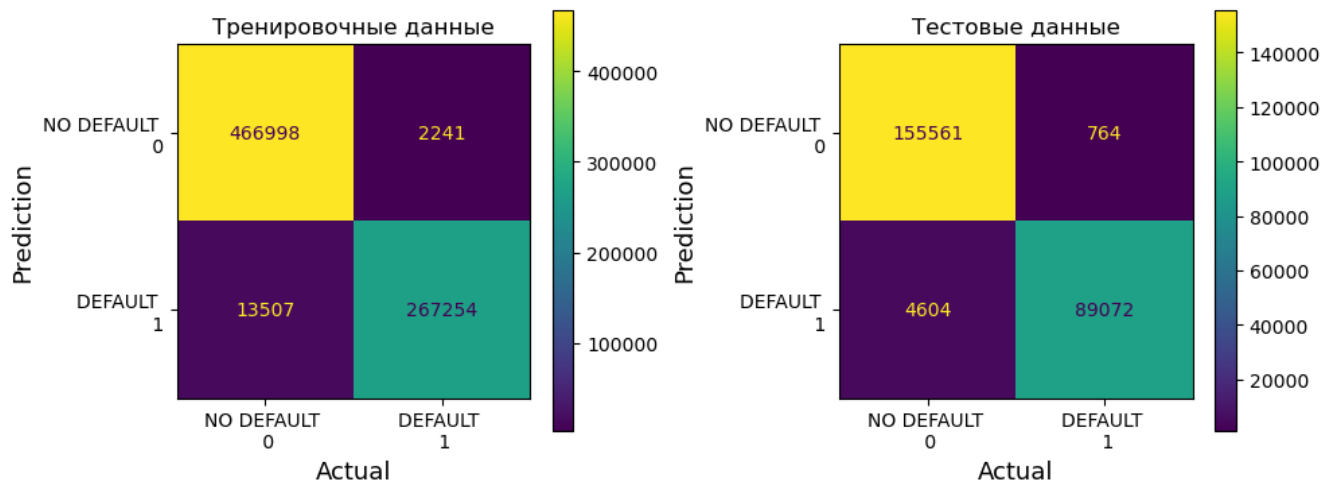


Рисунок 16 – Матрица ошибок на тренировочных и тестовых данных алгоритма Neural Network

Источник: составлено автором на основе: Соревнование на данных кредитных историй [Электронный ресурс] / Open Data Science. – URL: <https://ods.ai/competitions/dl-fintech-bki> (дата обращения: 25.11.2025).

### 1.3 Переобучение и недообучение алгоритмов

### 1.4 Применение алгоритмов в прогнозировании дефолта заемщика банка

## СПИСОК ЛИТЕРАТУРЫ

1. *Markov A., Seleznyova Z., Lapshin V.* Credit scoring methods: Latest trends and points to consider // The Journal of Finance and Data Science. — 2022. — Т. 8. — С. 180—201. — URL: <https://www.sciencedirect.com/science/article/pii/S2405918822000095>. — Загл. с экрана.
2. PCA [Электронный ресурс] / Python-библиотека для машинного обучения. — URL: <https://scikit-learn.org/stable/modules/generated/sklearn.decomposition.PCA.html>. — Загл. с экрана.
3. *Wang H.* Application of Decision Tree Model in Personal Credit Scoring and Its Fairness Optimization // Advances in Economics, Management and Political Sciences. — 2025. — С. 109—118. — URL: [https://www.researchgate.net/publication/390979182\\_Application\\_of\\_Decision\\_Tree\\_Model\\_in\\_Personal\\_Credit\\_Scoring\\_and\\_Its\\_Fairness\\_Optimization](https://www.researchgate.net/publication/390979182_Application_of_Decision_Tree_Model_in_Personal_Credit_Scoring_and_Its_Fairness_Optimization). — Загл. с экрана.
4. Можно ли «отбелить» кредитную историю и есть ли черный список должников в Казахстане [Электронный ресурс] / Информационный интернет-портал. — URL: [https://tengrinews.kz/kazakhstan\\_news/li-otbelit-kreditnuyu-istoriyu-est-cherniy-spisok-doljnikov-560869/](https://tengrinews.kz/kazakhstan_news/li-otbelit-kreditnuyu-istoriyu-est-cherniy-spisok-doljnikov-560869/). — Загл. с экрана.
5. *Смирнов С.В.* Методы машинного обучения в макроэкономическом прогнозировании: предварительные итоги // Вопросы экономики. — 2025. — № 10. — С. 131—154. — URL: <https://doi.org/10.32609/0042-8736-2025-10-131-154>. — Загл. с экрана.
6. Соревнование на данных кредитных историй [Электронный ресурс] / Open Data Science. — URL: <https://ods.ai/competitions/dl-fintech-bki>. — Загл. с экрана.

## Приложение 1. Предобработка данных

Листинг 1 – Формирование единого датасета

```
1 import pandas as pd
2 import os
3 import pyarrow.parquet as pq
4
5 path = "train_data"
6 for i,file in enumerate(os.listdir(path)):
7     file = 'train_data_' + str(i) + '.pq'
8     dataset = pq.ParquetDataset(os.path.join(path,file))
9     df = dataset.read(use_threads=True).to_pandas()
10    df_gr = df.groupby('id').agg('mean')
11    file_csv = file.replace('.pq', '.csv')
12    df_gr.to_csv(os.path.join('train_data_csv_all',file_csv))
13 os.listdir(path)
14
15 path = 'train_data_csv_all'
16 frames = []
17 for file_csv in os.listdir(path):
18     if file_csv.endswith('.csv'):
19         df = pd.read_csv(os.path.join(path, file_csv))
20         frames.append(df)
21
22 result = pd.concat(frames)
23 file_csv_all = '1_data_csv_all.csv'
24 result.to_csv(file_csv_all)
25 df_all = pd.read_csv(file_csv_all)
```

Листинг 2 – Датасет, содержащий 41 признак

```
1 from sklearn.decomposition import PCA
2
3 file_csv = 'data_csv_small.csv'
4 df = pd.read_csv(file_csv)
5
6 columns = ['pre_pterm', 'pre_fterm',
7             'pre_loans_next_pay_summ', 'pre_loans_outstanding',
8             'pre_loans_total_overdue', 'pre_loans_max_overdue_sum',
9             'pre_loans_credit_cost_rate', 'is_zero_loans5',
10            'is_zero_loans530', 'is_zero_loans3060',
11            'is_zero_loans6090', 'is_zero_loans90',
12            'pre_util', 'pre_maxover2limit',
13            'is_zero_util', 'is_zero_over2limit',
14            'enc_paym_0', 'enc_paym_1', 'enc_paym_2',
15            'enc_paym_3', 'enc_paym_4', 'enc_paym_5',
16            'enc_paym_6', 'enc_paym_7', 'enc_paym_8',
17            'enc_paym_9', 'enc_paym_10', 'enc_paym_11',
18            'enc_paym_12', 'enc_paym_13', 'enc_paym_14',
19            'enc_paym_15', 'enc_paym_16', 'enc_paym_17',
20            'enc_paym_18', 'enc_paym_19', 'enc_paym_20',
21            'enc_paym_21', 'enc_paym_22',
22            'enc_paym_23', 'enc_paym_24']
23
24 X = df.loc[:, columns].copy()
25 pca = PCA()
26 pca.fit(X)
27
28 100*pca.explained_variance_ratio_.round(3)
```

Листинг 3 – Датасет, содержащий 24 признака

```
1 file_csv = 'data_csv_small.csv'
2 df = pd.read_csv(file_csv)
3
4 columns_pay = ['enc_paym_0', 'enc_paym_1', 'enc_paym_2',
5                 'enc_paym_3', 'enc_paym_4', 'enc_paym_5',
6                 'enc_paym_6', 'enc_paym_7', 'enc_paym_8',
7                 'enc_paym_9', 'enc_paym_10', 'enc_paym_11',
8                 'enc_paym_12', 'enc_paym_13', 'enc_paym_14',
9                 'enc_paym_15', 'enc_paym_16', 'enc_paym_17',
10                'enc_paym_18', 'enc_paym_19', 'enc_paym_20',
11                'enc_paym_21', 'enc_paym_22', 'enc_paym_23',
12                'enc_paym_24']
13
14 X_pay = df.loc[:, columns_pay].copy()
15 pca = PCA()
16 pca.fit(X_pay)
17
18 100*pca.explained_variance_ratio_.round(3)
```

Листинг 4 – Алгоритм выявления аномальных клиентов

```
1 df_y = pd.read_csv('train_target.csv')
2 y = df_y.flag.values[:1000000].copy()
3 y_ = df_y.flag.values[:1000000].copy()
4
5 counter_norm, counter_anom = 0, 0
6 ind_norm, ind_anom = [], []
7 for i,x_pay in enumerate(np.array(X_pay)):
8     if y_[i]==0 and min(x_pay)>0:
9         counter_anom +=1
10        ind_anom.append(i)
11        y_[i]=1
12    else:
13        counter_norm +=1
14        ind_norm.append(i)
```

Листинг 5 – Критерий Колмогорова-Смирнова

```
1 col = 'enc_paym_15'
2 T = X_pay.enc_paym_15
3 x00, x01 = T[(y==0) & (y_== 0)], T[ind_anom]
4 x11, x01 = T[(y==1)], T[ind_anom]
5 ind00 = (x00!=0) & (x00!=1) & (x00!=2) & (x00!=3) & (x00!=4) & (x00
   !=5)
6 ind01 = (x01!=0) & (x01!=1) & (x01!=2) & (x01!=3) & (x01!=4) & (x01
   !=5)
7 ind11 = (x11!=0) & (x11!=1) & (x11!=2) & (x11!=3) & (x11!=4) & (x11
   !=5)
8 x00, x11, x01 = x00[ind00], x11[ind11], x01[ind01]
9
10 def my_cdf(x1, x2, step):
11     tm = max(max(x1), max(x2))
12     F1, F2 = [], []
13     n1, n2 = x1[x1>0].shape[0], x2[x2>0].shape[0]
14     for t in np.arange(0, tm+0.1, step):
15         F1.append(x1[(x1>0)&(x1<t)].shape[0])
16         F2.append(x2[(x2>0)&(x2<t)].shape[0])
17     F1, F2 = np.array(F1)/n1, np.array(F2)/n2
18     K = max(abs(F1-F2))*np.sqrt( n1*n2/(n1+n2))
19     return F1, F2, K, tm
20 step = 0.01
21 F01, F11, K, tm = my_cdf(x01, x11, step)
22 F01_, F00, K_, tm = my_cdf(x01, x00, step)
23 K, K_
```

Приложение 2